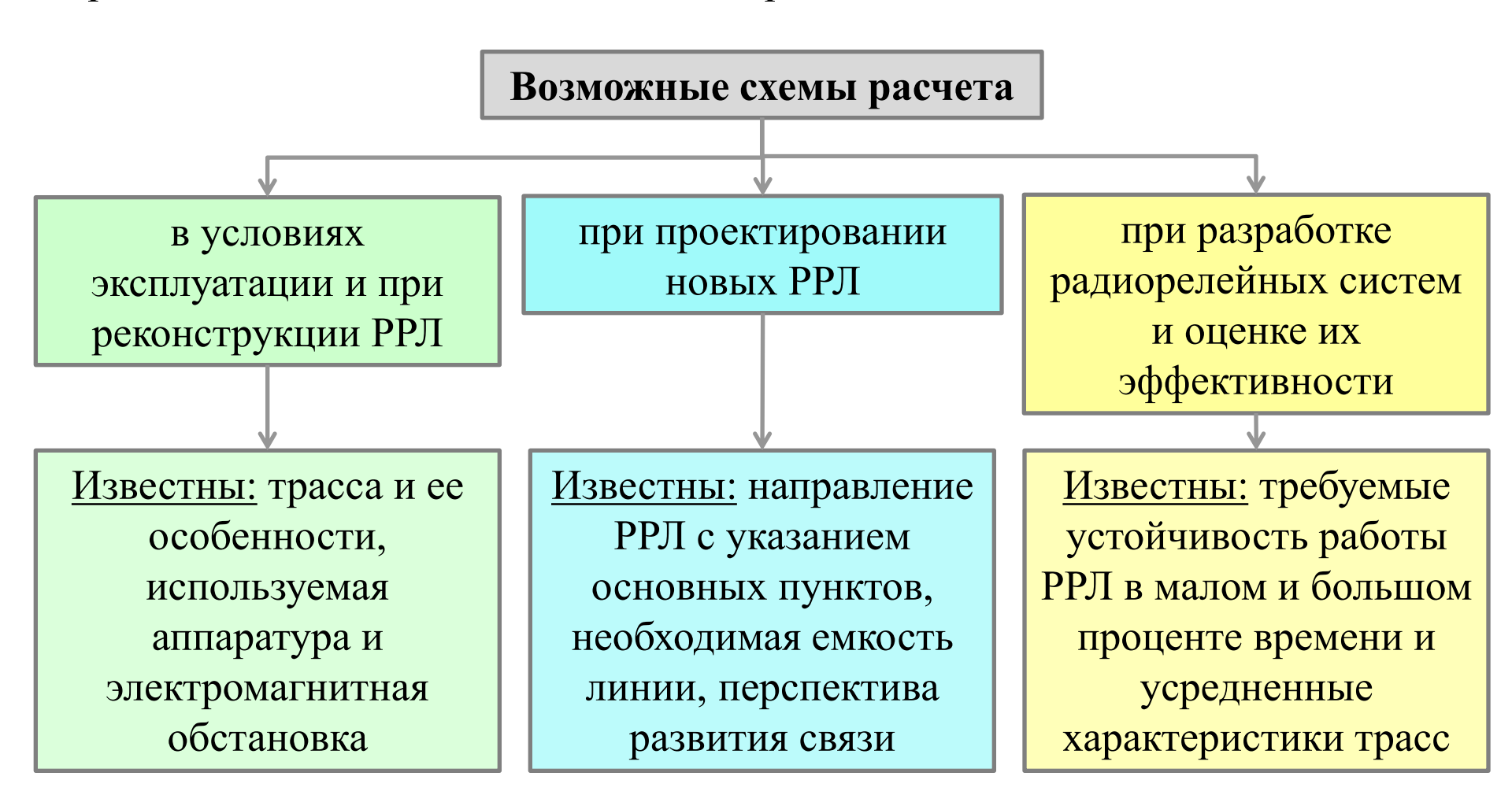
## Лекция 10

### Расчет трасс радиорелейных линий прямой видимости

Расчет трасс РРЛ производится при их проектировании, реконструкции и иногда в условиях эксплуатации. **Общей задачей расчета** является определение качественных показателей работы линии.



## Особенности расчета трасс РРЛ в условиях их эксплуатации

Известны:	Задача: проведение поверочного расчета качественных показателей. Определяются:		
1. трасса линии; 2. профили интервалов; 3. тип аппаратуры; 4. высоты антенных опор; 5. электромагнитная обстановка, определяемая взаимными помехами на РРЛ (при узлообразовании, прямом прохождении сигнала и т.д.), а также возможными помехами от других РРЛ или радиоэлектронных средств.	1. средние уровни сигнала на интервалах РРЛ;  2. мощность шума в верхнем телефонном канале или отношение $U_{\rm m}/U_{\rm c}$ в телевизионном канале на конце линии, превышаемые в течение 50 и 20% времени (при передаче аналоговой информации);  3. устойчивость работы линии.		

При расчетах в общем случае учитываются как полезные, так и мешающие сигналы. Полученные результаты сравниваются с рекомендациями ITU-R или другими нормами, после чего принимаются те или иные решения.

### Особенности расчета трасс при проектировании РРЛ

#### Известны (из технического Производятся: поручения, выдаваемого заказчиком): 1. направление РРЛ с указанием 1. выбор трассы РРЛ; 2. выбор аппаратуры (иногда основных пунктов, 2. общие соображения по схеме аппаратуры указывается заказчиком); организации связи и выделению 3. определение высот антенных опор из каналов по трассе РРЛ; условий выполнения рекомендаций 3. необходимая емкость линии; ITU-R или других принятых норм; 4. поверочный расчет мощности шума 4. перспектива развития связи. в верхнем телефонном канале или отношения $U_{\rm m}/U_{\rm c}$ в телевизионном канале, превышаемые в течение 50 и 20% времени или поверочный расчет устойчивости; 5. поверочный расчет средних уровней сигнала.

Вопросы по всем пунктам должны решаться с учетом электромагнитной совместимости РРЛ и радиоэлектронных средств в заданном районе.

### Особенности расчета трасс РРЛ при проектировании РРС

Известны:	Определяются:		
1. нормированная устойчивость работы РРЛ в малом или большом	1. требуемые параметры приемо-передающей аппаратуры;		
проценте времени;	2. требуемые параметры антенно-		
2. усредненные характеристики трасс.	волноводного тракта.		

Параметры аппаратуры и антенно-волноводного тракта должны обеспечивать требуемый энергетический запас на замирания сигнала.

#### Общий порядок проведения расчетов при проектировании РРС следующий:

- 1. Определение частотного диапазона работы РРС.
- 2. Расчет основных энергетических соотношений.
- 3. Учет рефракции радиоволн и рельефа местности.
- 4. Расчет множителя ослабления на различных трассах.
- 5. Расчет уровней сигнала на интервалах РРЛ.
- 6. Учет замираний сигнала на интервалах РРЛ.
- 7. Расчет устойчивости работы РРЛ.
- 8. Определение высот антенных опор при проектировании РРЛ.
- 9. Учет помех, возникающих внутри РРЛ.

### Расчет уровней сигнала на интервалах РРЛ

При проектировании РРЛ в обязательном порядке рассчитываются:

- средние мощности сигнала на входах приемников всех интервалов линии  $P_{\rm np}$  (точнее, мощности при среднем значении градиента  $g_{\rm cp}$ );
- мощности сигнала на входах приемников, не превышаемые в течение 20% времени любого (наихудшего) месяца,  $P_{np}$  (20%).

#### Заложенный в аппаратуре запас на замирания сигнала:

$$10\lg\left(\frac{\overline{P_{\pi p}}}{P_{\pi p \ \pi o p}}\right) = -V_{\pi o p}$$

 $101g \left( \frac{\overline{P_{np}}}{P_{np \ nop}} \right) = -V_{nop}$   $= -V_{nop}$  = входе приемника;

> V<sub>пор</sub> - максимально допустимая величина полного множителя ослабления сигнала.

Средний уровень сигнала определяет также среднюю мощность шума в каналах РРЛ, которая является сдаточным параметром РРЛ при настройке линии и контрольным — в условиях эксплуатации.

 $P_{\text{пр}}$  (20%) позволяет оценить допустимую величину мощности шума в каналах линии, характеризующую выполнение рекомендаций ITU-R. Для определения соответствия этой норме на реальных РРЛ требуются длительные измерения в разное время суток.

Средняя мощность на входе приемника данного интервала линии:

$$\overline{P_{\pi p}} = P_{0\pi p} \, \overline{V}^2$$

$$P_{0\pi p} = \frac{P_{\pi e p} \eta_{\pi e p} G_{\pi e p} \eta_{\pi p} G_{\pi p}}{L_{c_B}}$$

$$\begin{split} P_{0\pi p} &= \frac{P_{\pi e p} \eta_{\pi e p} G_{\pi e p} \eta_{\pi p} G_{\pi p}}{L_{c B}} \\ \overline{V} &- \text{ значение } \text{ множителя } \text{ ослабления } \pi p \text{и } \text{ средней} \end{split}$$
рефракции (g=g<sub>cp</sub>).

Мощность сигнала на входе приемника, не превышаемая в течение 20 % времени:

$$P_{\pi p}(20\%) = P_{0\pi p}V^2(20\%)$$

V(20%) - значение множителя ослабления, ниже которого его величина не опускается в течение 20% месяца.

На слабопересеченных интервалах РРЛ и пересеченных интервалах с относительно небольшими просветами в большинстве случаев значения V(20%) определяются статистикой замираний, обусловленной изменениями градиента g(20%). Для упрощения расчетов вместо значения g(20%) можно использовать градиент, превышаемый в течение 16% времени:

$$g(20\%) \approx g_{cp} + \sigma$$

о - стандартное отклонение статистического распределения значений g, определяемое по таблицам.

На пересеченных трассах с большими просветами значения V(20%) 7 определяются в основном статистикой замираний, обусловленных влиянием волн, отраженных от подстилающей поверхности и неоднородностей тропосферы. В этом случае значения V(20%) определяются по усредненным экспериментальным данным.

Значения V(20%) в децибелах

R <sub>0</sub> , км	2 ГГц	4 – 6 ГГц	8 — 11 ГГц
30	-1,2	-(1,52)	-(23)
40	-2	-(2,53)	-(3,24)
50	-3	-(3,54)	-(4,35)
60	-4	-(4,35)	

В сомнительных случаях целесообразно оценить V(20%) двумя способами: по градиенту g(20%) и по усредненным экспериментальным данным. При расчете Р<sub>пр</sub>(20%) учитывается наибольшее (по абсолютной величине) ослабление V(20%).

### Замирания сигнала на интервалах РРЛ

Замирания сигнала возникают в отдельные моменты времени, когда значения множителя ослабления становятся весьма малыми.

#### Возможные причины замираний:

- 1) изменение во времени метеорологических условий на трассе РРЛ, приводящее к изменению вертикального градиента диэлектрической проницаемости воздуха;
- 2) возникновение слоев в тропосфере с резким изменением диэлектрической проницаемости воздуха;
- 3) появление осадков.

Глубина замираний обычно характеризуется мгновенным значением |V| дБ. Наиболее глубокие замирания на интервалах РРЛ, обусловленные первыми двумя факторами, чаще всего отмечаются в вечерние, ночные и утренние часы летних месяцев, а в некоторых районах — в эти же часы весной или осенью. Наибольшее количество глубоких замираний наблюдается в морских, приморских и равнинных районах.

#### Типы замираний на интервалах РРЛ

Рефракционные замирания из-за экранирующего влияния препятствий

Рефракционные замирания интерференционного типа Замирания из-за влияния диаграмм направленности антенн

Интерференционные замирания из-за отражений от слоистых неоднородностей тропосферы

Замирания из-за экранирующего влияния слоистых неоднородностей тропосферы

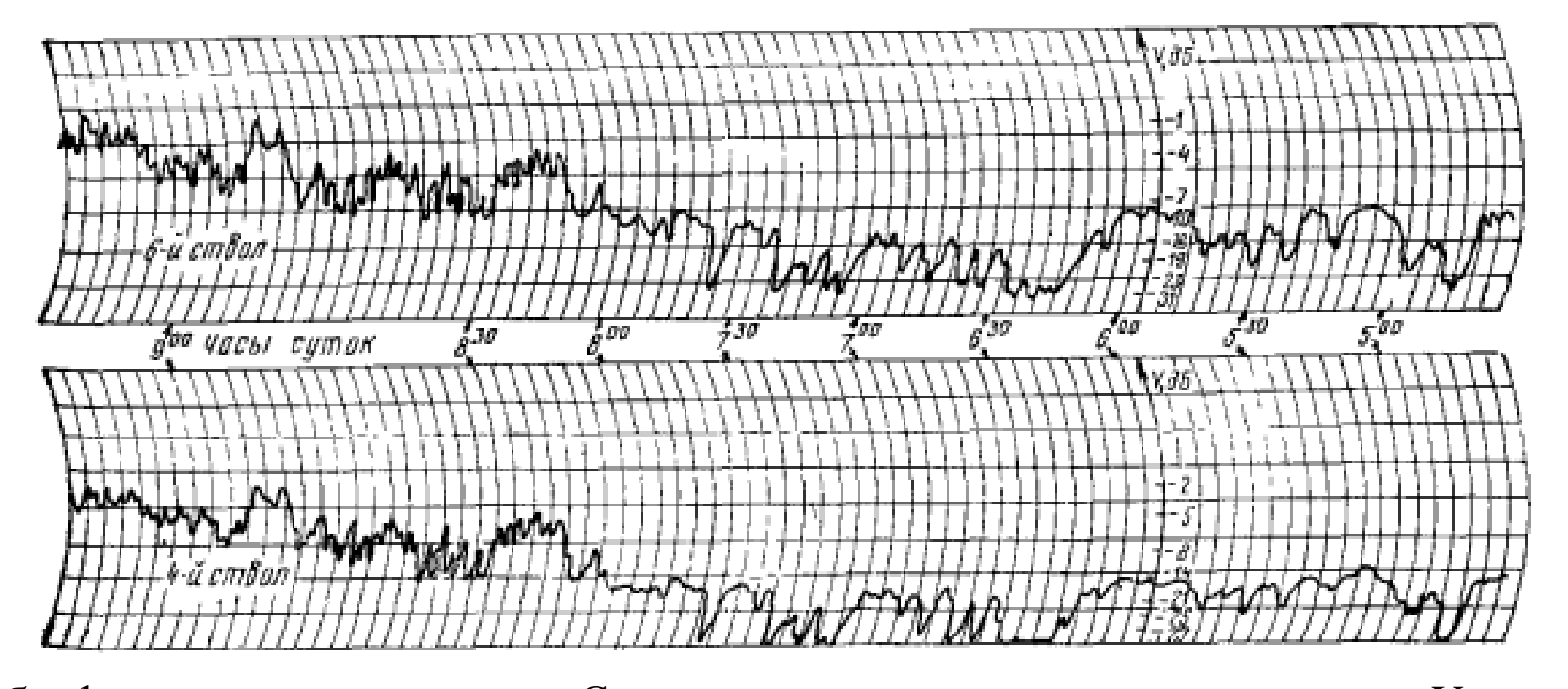
Замирания из-за ослабления сигнала в песчаных и пыльных бурях

Замирания из-за поглощения в газах

Замирания из-за ослабления сигнала гидрометеорами

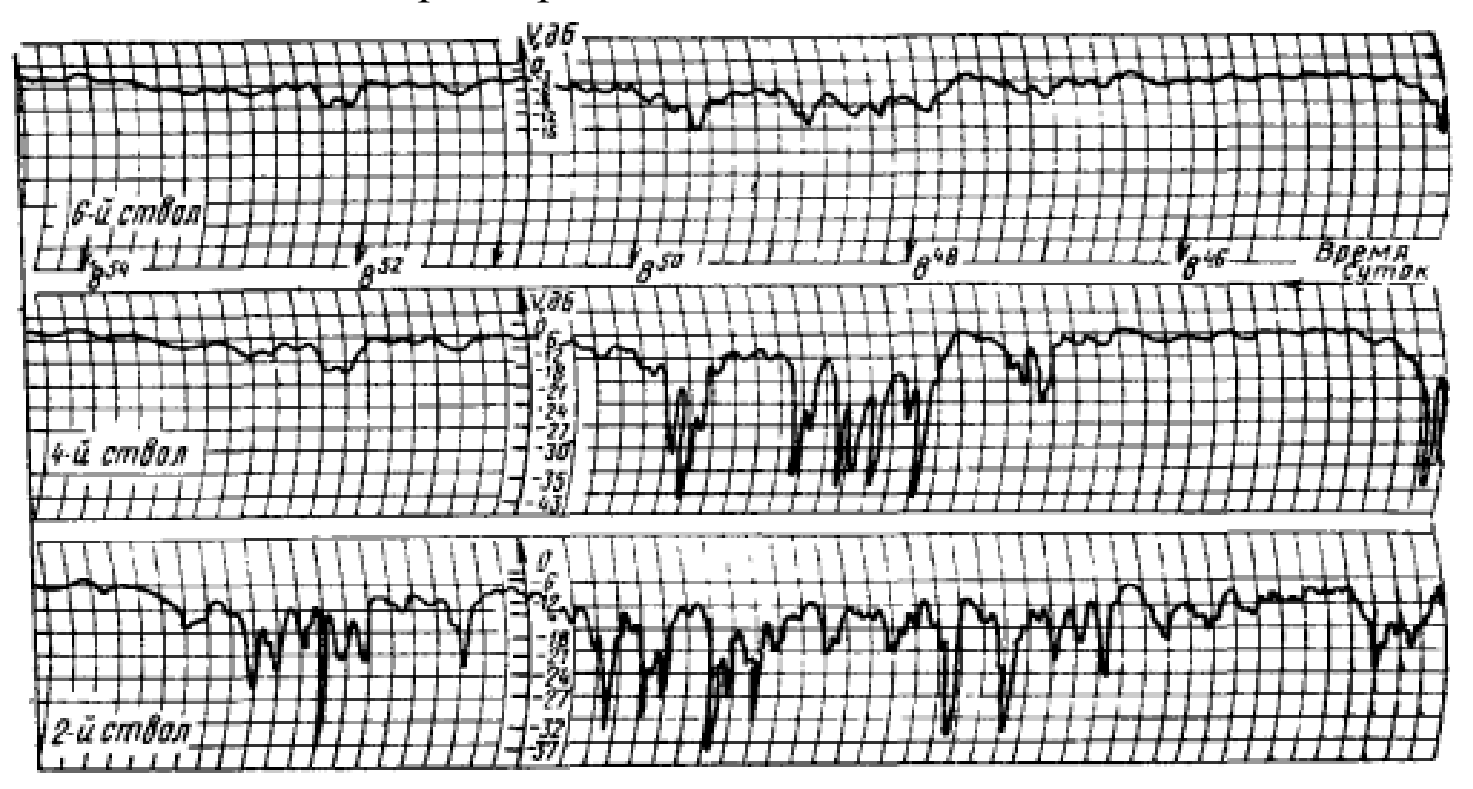
# Рефракционные замирания из-за экранирующего влияния препятствий

Эти замирания обусловлены уменьшением просвета на трассе при субрефракции (g>0) и попаданием приемной антенны в область глубокой тени при H(g)<<1. Такие замирания сравнительно медленные, имеют слабую частотную зависимость и происходят практически одновременно во всех стволах радиорелейной системы, работающей в одном частотном диапазоне.



Субрефракционные замирания. Сухопутная среднепересеченная, трасса на Украине:  $R_0$ =55 км, H = +6 м, f=3,7 ГГц. Частотный разнос между стволами  $\Delta F$ =58 МГц

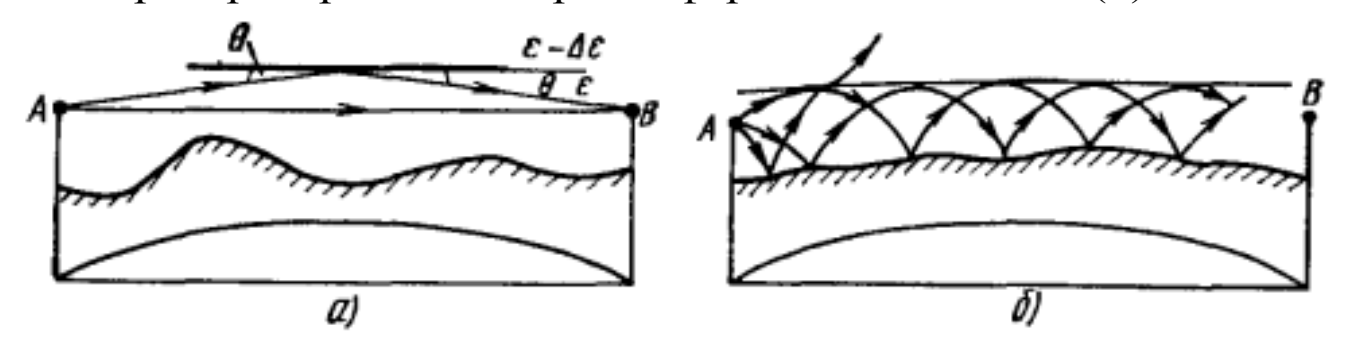
Обусловлены увеличением просвета на трассе при повышенной рефлекции (g<-8·10<sup>-8</sup> 1/м) и попаданием приемной антенны в интерференционные минимумы, появляющиеся в результате взаимодействия прямой волны и волн, отраженных от земной поверхности. Интерференционные замирания имеют быстрый характер, их средняя длительность при глубине порядка 35—25 дБ составляет секунды — десятки секунд. Они частотно-селективны. Глубокие замирания наблюдаются неодновременно в высокочастотных стволах радиорелейной системы.



Интерференционные замирания. Морская трасса:  $R_0$ =39 км, H = +43 м, f=3,7  $\Gamma\Gamma$ ц. Частотный разнос между стволами  $\Delta F$ =58  $M\Gamma$ ц

# Интерференционные замирания (ИЗ) из-за отражений от 12 слоистых неоднородностей тропосферы

Замирания этого типа обусловлены интерференцией прямой волны и волн, отраженных от слоистых неоднородностей тропосферы (а), и попаданием приемной антенны в интерференционные минимумы. К этому типу можно отнести также ИЗ из-за многолучевого распространения в тропосферных волноводах (б).

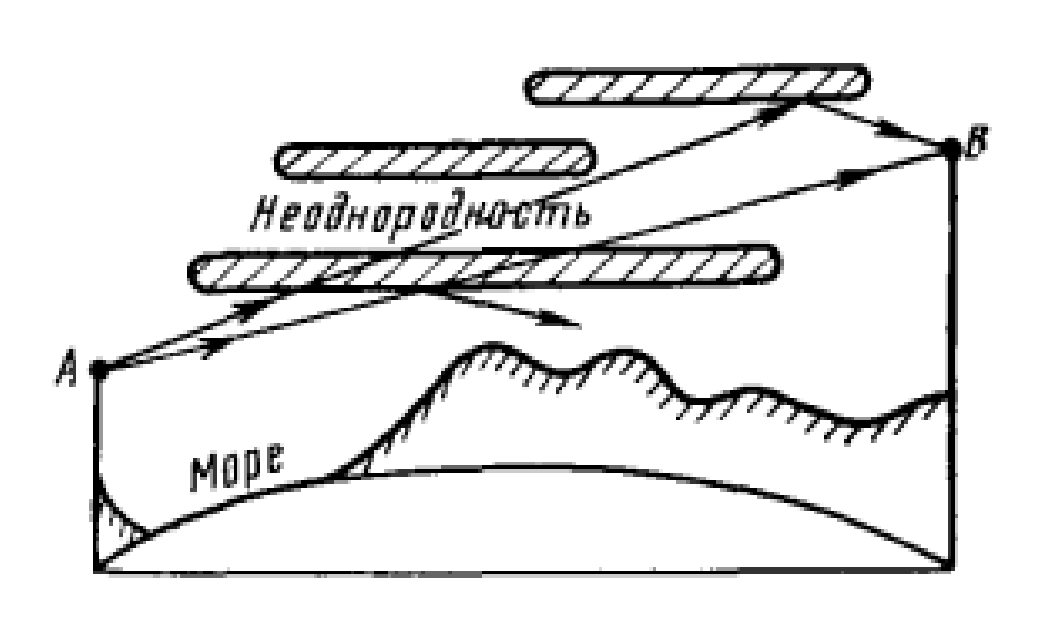


ИЗ аналогичны рефракционным замираниям интерференционного типа. Они частотноселективны, в большинстве случаев носят самый быстрый характер, так как вследствие непрерывного изменения высоты отражающих слоев, их интенсивности и наклона меняются фазовые и амплитудные соотношения приходящих волн. При глубине 25—35 дБ средняя длительность замираний составляет секунды — доли секунд. Отличительной чертой замираний в тропосферных волноводах является то, что в большинстве случаев они наблюдаются при высоком среднем уровне сигнала  $V_{cp}>+6$  дБ (V>2). По результатам экспериментов глубокие ИЗ из-за отражений от слоистых неоднородностей тропосферы на волнах длиннее 12 — 15 см на сухопутных интервалах РРЛ наблюдаются сравнительно редко. По мере укорочения длины волны количество таких замираний возрастает и во многих случаях они определяют суммарную продолжительность замираний. На морских трассах влияние слоистых неоднородностей тропосферы отмечается даже на метровых волнах.

# Замирания из-за экранирующего влияния слоистых неоднородностей тропосферы

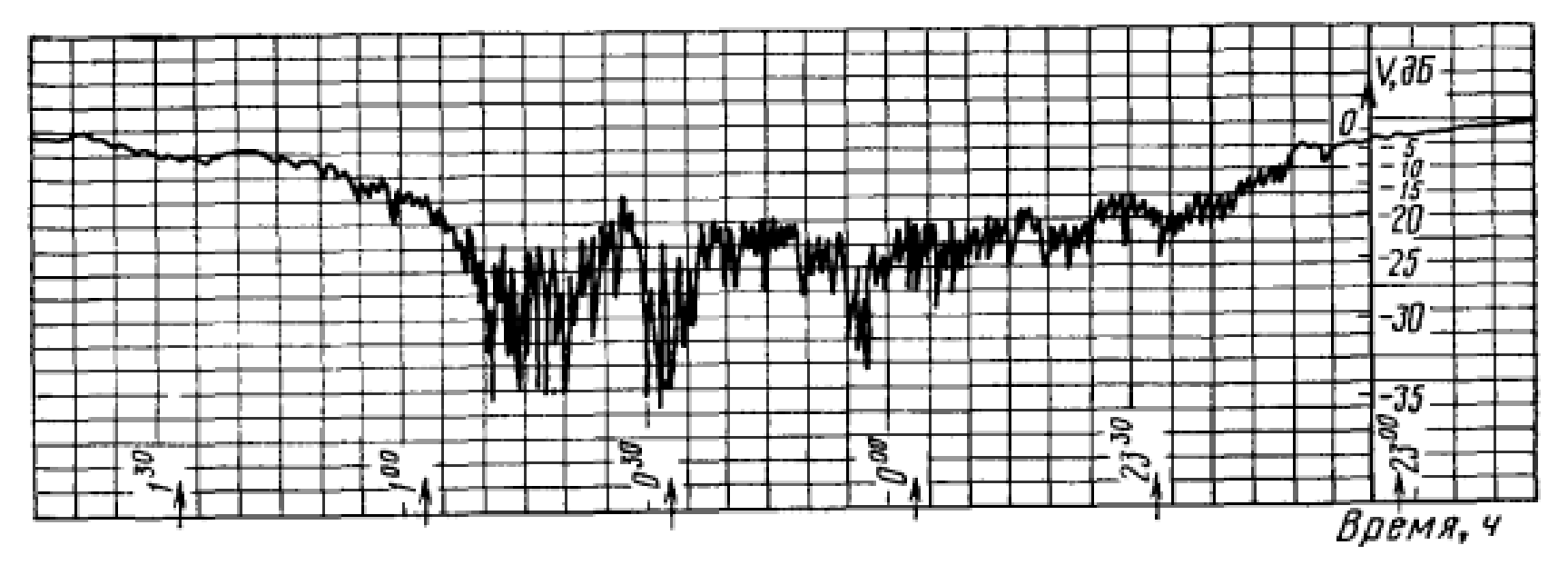
Обусловлены ослаблением радиоволн при прохождении через слоистые неоднородности тропосферы, когда большая часть энергии отражается и лишь небольшая часть достигает точки приема.

Характер замираний специфичен: большие ослабления уровня сигнала даже на десятки децибел (10—30) могут отмечаться в течение длительного времени, доходящего до нескольких часов. Иногда они сопровождаются быстрыми флуктуациями сигнала



относительно среднего уровня. По-видимому, такие флуктуации вызываются не только потерей энергии волны, но и дополнительной интерференцией прямой волны и волн, отраженных от других неоднородностей тропосферы.

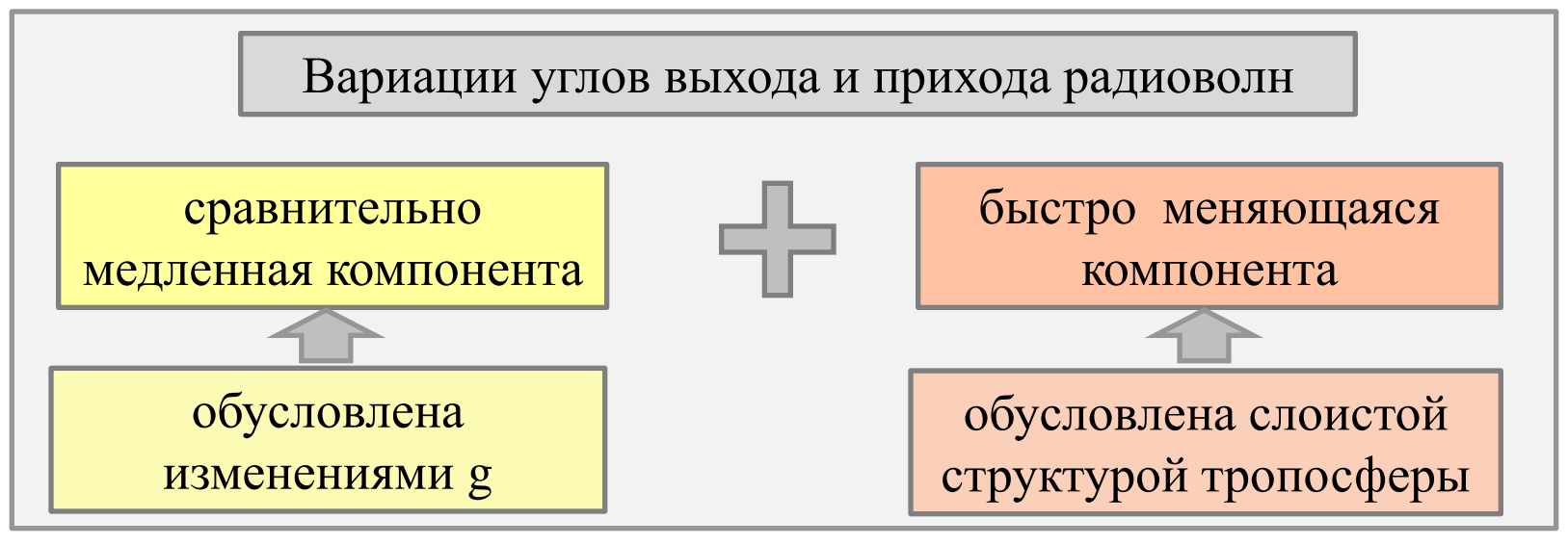
Замирания практически коррелированы в пределах одного частотного диапазона и наблюдаются одновременно во всех стволах радиорелейной системы. Их глубина увеличивается с увеличением протяженности интервала, перепада высот между приемной и передающей антеннами (по крайней мере, до 1°) и с укорочением длины волны. На интервалах РРЛ протяженностью 50—60 км такие замирания наблюдаются как правило, в морских районах, а на более протяженных трассах — также в горных районах. Этот тип замираний изучен сравнительно слабо.



Замирания из-за экранирующего влияния слоистых неоднородностей тропосферы Смешанная трасса (море, суша):  $R_0$ =61 км, H = +11 м, f=3,7 ГГц. Перепад высот между приемной и передающей антеннами 227 м. Отражение от подстилающей поверхности отсутствует

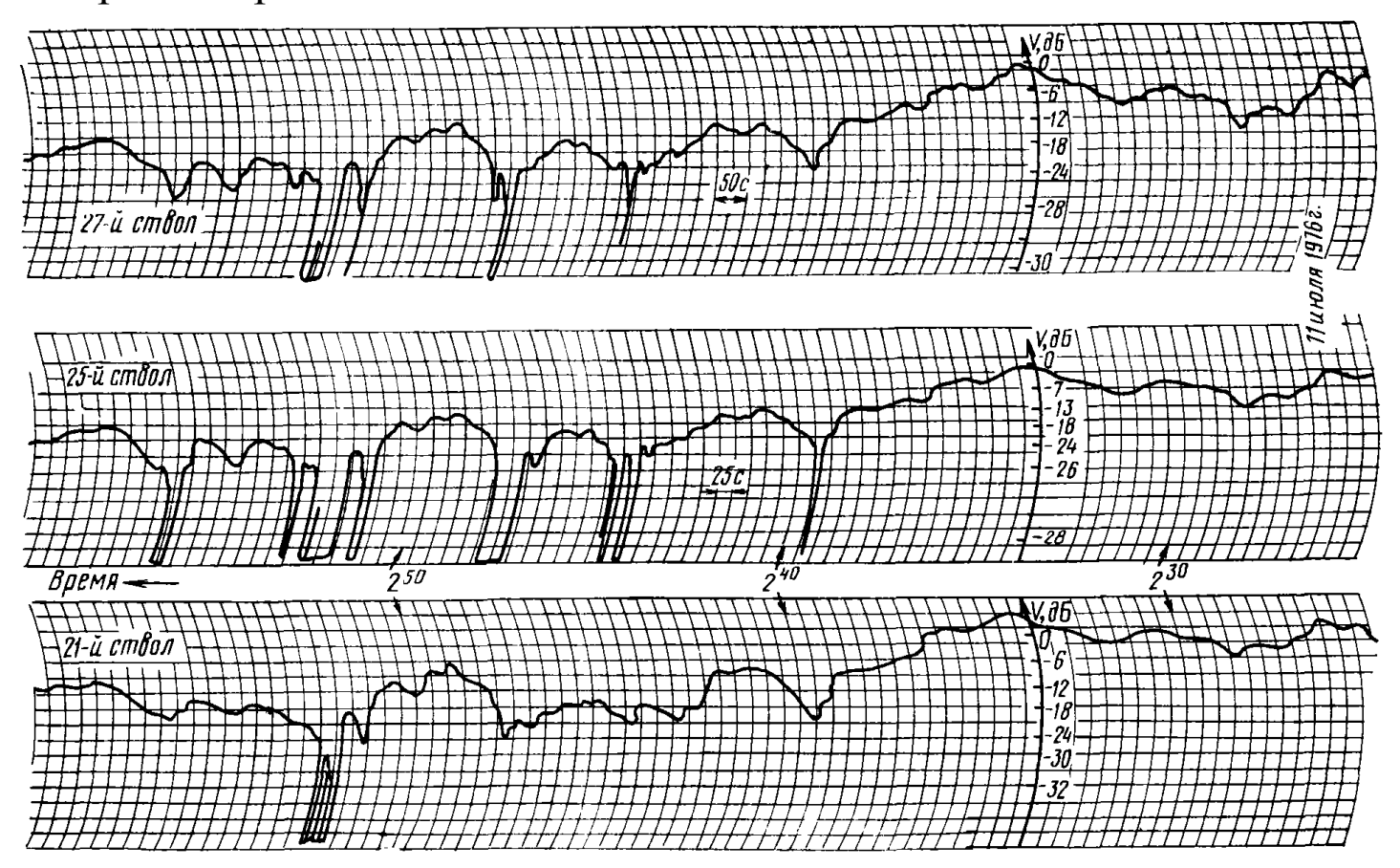
## Замирания из-за влияния диаграмм направленности антенн

Обусловлены вариациями углов выхода и прихода радиоволн, вызванными случайными изменениями условий рефракции. Они существенны при достаточно узких диаграммах направленности антенн, так как по экспериментальным данным на интервалах РРЛ средней длины изменения углов в вертикальной плоскости не превышают  $\pm 0.5^{\circ}$ , в горизонтальной плоскости вариации углов прихода примерно в 4-5 раз меньше, исключение составляют интервалы РРЛ на границах раздела сред (суша —море и т. д.).



В реальных условиях влияние углов прихода может усугубляться из-за неточности юстировки остронаправленных антенн, а также тепловой и ветровой деформативности антенных опор. На практике влияние ДН антенн в наихудшие месяцы становится существенным при коэффициентах усиления порядка 45 дБ (ширина диаграммы по половинной мощности  $\sim 0.9^{\circ}$ —  $0.8^{\circ}$ , т.е.  $\pm (0.45^{\circ}$ — $0.4^{\circ}$ )).

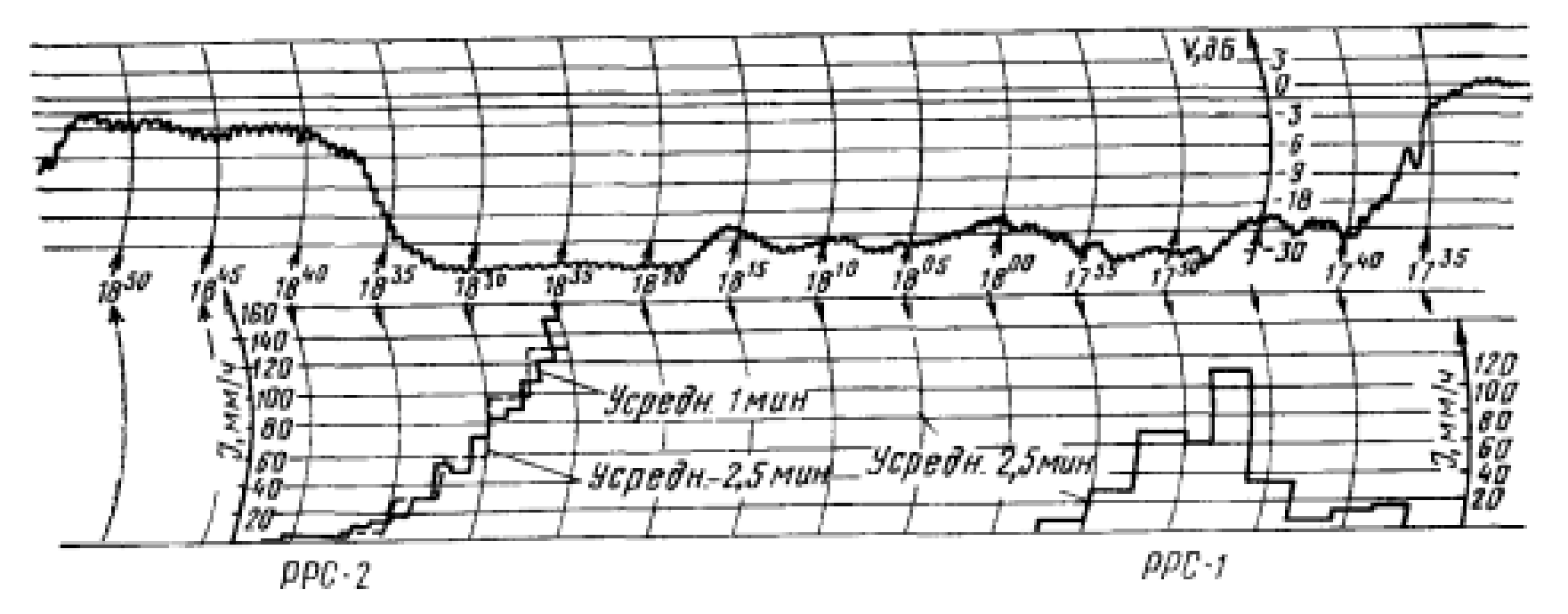
Характер замираний специфичен: на пересеченных открытых интервалах РРЛ 16 при применении перископических антенн с номинальным усилением 45 дБ и высоте антенных опор 60-100 м могут наблюдаться медленно меняющиеся ослабления среднего уровня сигнала до - (10-20) дБ, которые могут сохраняться до нескольких часов. Эти замирания частотно-коррелированы, наблюдаются в основном одновременно во всех стволах РРС. Они эквивалентны «потере усиления» антенн в отдельные периоды времени.



Среднепересеченная, трасса , покрытая лесом ( $G_{\text{пер}}=G_{\text{пр}}=45$  дБ):  $R_0=51$  км, H=+42 м, f=8 ГГц. Частотный разнос между стволами  $\Delta F=56$  МГц

### Замирания из-за ослабления сигнала гидрометеорами

Эти замирания вызваны ослаблением электромагнитной энергии вследствие рассеяния частицами гидрометеоров (дождь, туман, снег, град и т. д.) и нерезонансиого поглощения ее в самих частицах. Рассеяние и поглощение зависят гидрометеоров (жидкие или твердые), размеров капельных образований, интенсивности осадков, их температуры, длины волны сигнала. Эти замирания медленные, частотно-коррелированные и наблюдаются одновременно во всех стволах радиорелейной системы, работающей в одном частотном диапазоне.



Среднепересеченная, трасса , покрытая лесом :  $R_0$ =35,5 км, H = +66 м, f=12,3 ГГц